

# “Точные” решения для циркулярно поляризованных Керровских солитонов

В. П. Рубан<sup>1,\*</sup> и Р. В. Рубан<sup>2</sup>

<sup>1</sup>Институт теоретической физики им. Л. Д. Ландау РАН, 142432, Черноголовка, Россия

<sup>2</sup>Физический факультет, МГУ им. М. В. Ломоносова, 119991, Москва, Россия

(Дата: 9 января 2025 г.)

Для нелинейного векторного уравнения типа ротор-ротор, описывающего монохроматическую световую волну в Керровской среде, предлагается точная редукция, приводящая к системе четырех обыкновенных дифференциальных уравнений первого порядка для функций от поперечной радиальной координаты. Численные решения этой системы с подходящими крайними условиями дают исчерпывающую информацию о внутреннем строении сильно нелинейного стационарного оптического пучка, имеющего в основном определенную круговую поляризацию, но с небольшой “примесью” двукратно завихренной противоположной поляризации и однократно завихренной продольной компоненты электрического поля.

**Введение.** В нелинейной оптике важную роль играет векторное уравнение

$$\text{rot rot } \mathbf{E} = \frac{\omega^2}{c^2} [\varepsilon \mathbf{E} + \alpha |\mathbf{E}|^2 \mathbf{E} + \beta (\mathbf{E} \cdot \mathbf{E}) \mathbf{E}^*], \quad (1)$$

которое описывает строго монохроматическую световую волну с частотой  $\omega$  в прозрачной оптической среде с Керровской нелинейностью [1]. Здесь  $\mathbf{E}(x, y, z)$  — комплексная амплитуда главной гармоники электрического поля,  $\varepsilon(x, y, z)$  — диэлектрическая проницаемость для волн малой амплитуды на заданной частоте,  $\alpha(x, y, z)$  и  $\beta(x, y, z)$  — коэффициенты нелинейности. Для пространственно однородной среды  $\varepsilon$ ,  $\alpha$  и  $\beta$  — постоянные параметры (причем в пределе мгновенного нелинейного отклика Керровские коэффициенты связаны соотношением  $\beta = \alpha/2$ ). В случае положительных  $\alpha$  и  $\beta$  (фокусирующая среда), среди решений уравнения (1) имеются, в частности, т. н. “световые иглы” — световые пучки шириной порядка длины волны  $\lambda_0 = 2\pi/k_0$ , где  $k_0 = \sqrt{\varepsilon}\omega/c$  [2–5]. Соответственно, в дефокусирующей среде (отрицательные  $\alpha$  и  $\beta$ ) возможны оптические вихри [6–10], а также доменные стенки между областями с противоположной круговой поляризацией света [11–17]. Все эти объекты представляют большой теоретический и практический интерес.

Как правило, аналитические исследования уравнения (1) проводятся приближенными методами, имея в качестве “отправной точки” систему связанных нелинейных уравнений Шредингера (НУШ). В главном приближении амплитуды  $A_{\pm}(x, y, z)$  левой и правой круговых поляризаций в выражении

$$\mathbf{E} \approx [(\mathbf{e}_x + i\mathbf{e}_y)A_+ + (\mathbf{e}_x - i\mathbf{e}_y)A_-] \exp(ik_0z)/\sqrt{2} \quad (2)$$

предполагаются медленными функциями, при полном пренебрежении малой дивергенцией электрического поля и его продольной компонентой. В этих предпо-

ложениях получается пара НУШ [18]

$$-2ik_0\partial_z A_{\pm} = \Delta_{\perp} A_{\pm} + \frac{\alpha k_0^2}{\varepsilon} [|A_{\pm}|^2 + g|A_{\mp}|^2] A_{\pm}, \quad (3)$$

где параметр перекрестной фазовой модуляции  $g = 1 + 2\beta/\alpha$ . Затем рассматриваются поправки по малому отношению длины волны к характерной ширине пучка, которые учитывают  $\text{div } \mathbf{E} \neq 0$  и  $E_{\parallel} \neq 0$  [19–26]. Для большинства практических целей этого оказывается вполне достаточно, поскольку уменьшение ширины пучка до величин порядка длины волны неизбежно подразумевает увеличение амплитуды  $E \equiv |\mathbf{E}|$  поля до таких значений, когда в правой части уравнения (1) нелинейные слагаемые оказываются сравнимыми с линейным членом, то есть  $\alpha E^2 \sim \varepsilon$ . Но в обычных веществах с  $\varepsilon \sim 1$  такое соотношение никогда не выполняется при умеренных интенсивностях света, а в сильных полях уже сама модель (1) становится непригодной, так как включаются неучтенные ею физические процессы [27]. Однако имеются теоретические оценки, что в искусственно созданных композитных материалах могут достигаться достаточно малые значения  $\varepsilon$  (а также параметр  $\gamma = \beta/\alpha$  может задаваться в широких пределах) [28–30]. В таком случае анализ точных солитонных решений уравнения (1) с большими амплитудами не только интересен с научной точки зрения, но и практически важен. Этой проблеме и посвящена данная работа.

**Редукция.** Как известно, при изучении нелинейных систем в частных производных желанной целью и большой удачей для исследователей всегда оказывается нахождение точных редукций — самосогласованных подстановок, которые сводят задачу к системе обыкновенных дифференциальных уравнений (ОДУ). Например, одна из немногих известных редукций уравнения (1) — осесимметричные решения в виде вихря с азимутальной поляризацией в дефокусирующей среде [31, 32]. В фокусирующем случае основной интерес представляют пространственные солитоны — локализованные по обоим поперечным направлениям устойчивые нелинейные волновые пакеты. В рамках связанных НУШ такие двумерные объекты, как известно, не существуют, поскольку волновой пакет ли-

\*Electronic address: ruban@itp.ac.ru

бо расплывается за счет дифракции, либо коллапсирует за счет нелинейности (см. [33, 34] и ссылки там). Но с учетом нелинейно-дифракционных поправок солитоны возможны, причем при произвольном соотношении между левой и правой круговыми поляризациями в световом пучке, включая крайние случаи — линейную и круговую поляризации. Надо сказать, что с точки зрения поиска точных редукций линейная и эллиптическая поляризации не выглядят перспективными, поскольку там профиль пучка заведомо не обладает вращательной симметрией в поперечной плоскости. Совсем другое дело — пучки с круговой поляризацией. В данной работе предлагается подстановка, которая сводит задачу о поперечном строении такого пучка к системе четырех нелинейных ОДУ первого порядка для неизвестных функций радиальной координаты  $r = \sqrt{x^2 + y^2}$ . Более того, число участвующих в решении свободных параметров оказывается достаточным для того, чтобы обеспечить регулярность всех функций при  $r \rightarrow 0$  и их нулевую асимптотику при  $r \rightarrow \infty$ . Таким образом, нами здесь получена детальная информация о пространственных Керровских солитонах не только малой, но и конечной амплитуды.

Подстановка, о которой идет речь, применима не только непосредственно к уравнению (1), но и к его обобщениям вида

$$\begin{aligned} \text{rot rot } \mathbf{E} &= N(r, E^2, |\mathbf{E} \cdot \mathbf{E}|^2) \mathbf{E} \\ &+ \tilde{M}(r, E^2, |(\mathbf{E} \cdot \mathbf{E})|^2) (\mathbf{E} \cdot \mathbf{E}) \mathbf{E}^*, \end{aligned} \quad (4)$$

где  $N$  и  $\tilde{M}$  — некоторые заданные вещественные функции указанных скалярных аргументов. Заметим попутно, что в случае

$$N\mathbf{E} + \tilde{M}(\mathbf{E} \cdot \mathbf{E})\mathbf{E}^* = \partial\Pi/\partial\mathbf{E}^*$$

данное уравнение относится к вариационному типу. Для обычной Керровской нелинейности  $N = k_0^2[1 + (\alpha/\varepsilon)E^2]$  и  $\tilde{M} = k_0^2(\beta/\varepsilon) = \text{const}$ , так что

$$\Pi = k_0^2[E^2 + (\alpha/\varepsilon)E^4/2 + (\beta/\varepsilon)|(\mathbf{E} \cdot \mathbf{E})|^2/2].$$

Можно также рассматривать и среды с насыщающей нелинейностью [35–37].

Мы будем искать точные решения уравнения (4) в виде  $\mathbf{E} = \hat{\mathbf{E}}(r, \varphi)e^{i\kappa z}$ , где  $\varphi$  — полярный угол,  $\kappa$  — константа распространения. Поперечный профиль пучка попробуем задать следующей подстановкой:

$$\begin{aligned} \hat{\mathbf{E}} &= \mathbf{e}_x[A_+(r) + A_-(r)e^{2i\varphi}] \\ &+ i\mathbf{e}_y[A_+(r) - A_-(r)e^{2i\varphi}] - i\mathbf{e}_z B(r)e^{i\varphi}. \end{aligned} \quad (5)$$

Здесь  $A_+(r)$  — лево-поляризованная компонента волны, которую мы предполагаем доминирующей,  $A_-(r)e^{2i\varphi}$  — относительно малая “примесь” право-поляризованной компоненты, содержащая двукратный вихрь,  $-iB(r)e^{i\varphi}$  — продольное поле, содержащее однократный вихрь. Легко видеть, что  $E^2 = 2|A_+|^2 + 2|A_-|^2 + |B|^2$ ,  $(\mathbf{E} \cdot \mathbf{E}) = (4A_+A_- - B^2)e^{2i\varphi}$ .

После соответствующих вычислений мы находим, что  $x$ -компонента уравнения дает условие вида  $W_0(r) + W_2(r)e^{2i\varphi} = 0$ , с некоторыми дифференциальными выражениями  $W_0$  и  $W_2$ , тогда как для  $y$ -компоненты получается совместное с предыдущим уравнение  $i[W_0(r) - W_2(r)e^{2i\varphi}] = 0$ . Для продольной компоненты мы имеем  $iW_1(r)e^{i\varphi} = 0$ . Таким образом, число независимых уравнений ( $W_0 = 0$ ,  $W_1 = 0$  и  $W_2 = 0$ ) совпадает с числом неизвестных функций.

По техническим соображениям удобно ввести линейные комбинации  $(A_+ + A_-) = F$  и  $(A_+ - A_-) = G$ . При этом  $E^2 = |F|^2 + |G|^2 + |B|^2$ ,  $(\mathbf{E} \cdot \mathbf{E}) = (F^2 - G^2 - B^2)e^{2i\varphi}$ . Тогда получается система ОДУ следующего вида:

$$\kappa^2 F + \frac{(F - G)}{r^2} - \frac{G'}{r} + \kappa B' = NF + MF^*, \quad (6)$$

$$\kappa^2 G - G'' + \left[\frac{(F - G)}{r}\right]' + \kappa \frac{B}{r} = NG - MG^*, \quad (7)$$

$$-\frac{(rB)'}{r} + \frac{B}{r^2} - \kappa \left[F' + \frac{(F - G)}{r}\right] = NB - MB^*, \quad (8)$$

где для краткости введено обозначение

$$M = (F^2 - G^2 - B^2)\tilde{M}.$$

Дальнейшее упрощение полученной системы возможно в силу равенства  $\text{div}[N\mathbf{E} + \tilde{M}(\mathbf{E} \cdot \mathbf{E})\mathbf{E}^*] = 0$ , которое прямо следует из уравнения (4). Составив комбинацию  $[r \cdot \text{Ур.}(6)]' - \text{Ур.}(7) + \kappa r \cdot \text{Ур.}(8)$ , получим ОДУ первого порядка

$$\begin{aligned} (NF + MF^*)' + \frac{1}{r}[N(F - G) + M(F^* + G^*)] \\ + \kappa(NB - MB^*) = 0, \end{aligned} \quad (9)$$

которое заменяет собой уравнение (8).

**Способ численного решения и примеры.** Далее мы будем предполагать функции  $F$ ,  $G$  и  $B$  действительными, что допускается системой.

В уравнении (6) производная  $B'$  легко выражается через  $\{F, G, G', B\}$ . Затем из уравнений (9) и (6) можно алгебраически выразить  $F'$  также через указанную четверку функций. В итоге мы имеем систему ОДУ стандартного типа в четырехмерном фазовом пространстве, которая легко решается численными методами с высокой точностью. Решать приходится, однако, не задачу Коши с начальными условиями, а краевую задачу. Если мы рассматриваем решения на отрезке между  $r_1 > 0$  и  $r_2 > r_1$ , то естественные краевые условия, которые соответствуют идеально проводящим стенкам волновода, состоят в требованиях  $G(r_1) = 0$ ,  $G(r_2) = 0$ ,  $B(r_1) = 0$ ,  $B(r_2) = 0$ , и в свободных краевых условиях для  $F(r_1)$  и  $F(r_2)$ . При этом касательная компонента электрического поля обращается в ноль на цилиндрических стенках волновода. Если же рассматриваются солитоны в безграничном

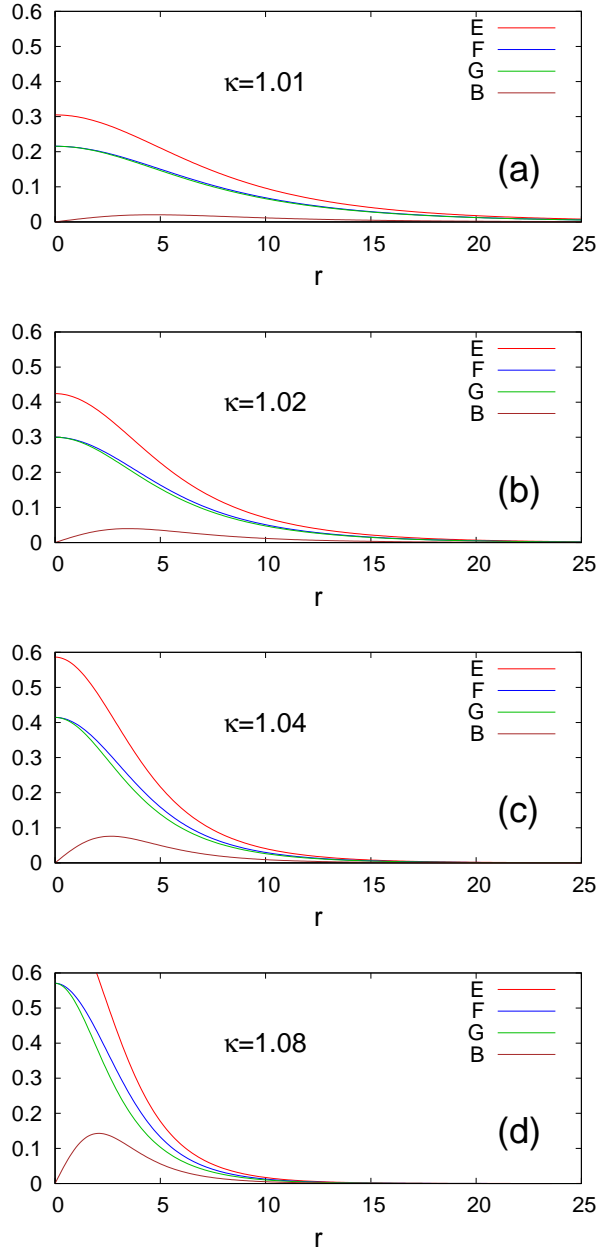


Рис. 1: Примеры профилей Керровских солитонов. Соответствующие значения параметров: а)  $\kappa = 1.01$ ,  $A_0 = 0.215682$ ,  $b_1 = 0.007626$ ; б)  $\kappa = 1.02$ ,  $A_0 = 0.3000665$ ,  $b_1 = 0.0198068$ ; в)  $\kappa = 1.04$ ,  $A_0 = 0.4145696$ ,  $b_1 = 0.0492948$ ; д)  $\kappa = 1.08$ ,  $A_0 = 0.57056007$ ,  $b_1 = 0.11817944$ .

пространстве, то на бесконечности следует повтвить нулевые асимптотические условия, а при  $r \rightarrow 0$  все наши функции обязаны быть регулярными.

Чтобы использовать численные методы интегрирования полученных ОДУ (например, как в нашем случае, метод Рунге-Кутты 4-го порядка аппроксимации), необходимо хотя бы слегка “отойти” от особой точки  $r = 0$ . Для этого надо знать несколько первых коэффициентов в разложениях неизвестных функций по

степеням  $r$ ,

$$F = A_0 + \frac{f_2}{2}r^2 + \dots, \quad (10)$$

$$G = A_0 + \frac{g_2}{2}r^2 + \dots, \quad (11)$$

$$B = b_1r + \dots. \quad (12)$$

Весьма примечательно, что оба уравнения (6) и (7) дают одно и то же требование на коэффициенты  $A_0$ ,  $f_2$ ,  $g_2$  и  $b_1$ :

$$\frac{1}{2}f_2 - \frac{3}{2}g_2 + \kappa b_1 = [N(0, 2A_0^2, 0) - \kappa^2]A_0. \quad (13)$$

Еще одна связь между коэффициентами разложения получается из уравнения (9). Ввиду громоздкости мы ее здесь не выписываем явно.

Таким образом, на четыре коэффициента имеется всего два алгебраических уравнения. Удобно взять  $A_0$  и  $b_1$  в качестве свободных параметров, а через них выразить  $f_2$  и  $g_2$ . Подбирая затем нужным образом  $A_0$  и  $b_1$ , можно добиться выполнения нулевых асимптотических условий на бесконечности. При этом требуется весьма “тонкая” совместная настройка значений  $A_0$  и  $b_1$ , для чего приходится проводить численную процедуру типа “стрельбы”. Несколько численных примеров профилей солитонов приведены на Рис.1 для безразмерного уравнения (1), что формально соответствует выбору  $N = 1 + E^2$ ,  $M = \gamma = 0.5$  (при этом  $k_0 = 1$ ,  $\lambda_0 = 2\pi$ ). Из этого рисунка видно, что примесь противоположной поляризации  $A_- = (F - G)/2$  становится заметной лишь для весьма узких солитонов. Продольная компонента электрического поля также всегда относительно мала.

**Заключение.** Точное приведение векторной задачи о циркулярно поляризованном, самоподдерживающемся нелинейном световом пучке к системе нескольких ОДУ, выполненное в данной работе, представляется значительным теоретическим результатом. Эта же система ОДУ, но с дефокусирующей нелинейностью, должна дать и решение задачи о двукратном вихре в правой компоненте, ядро которого содержит левую компоненту. Кроме того, есть смысл рассмотреть в будущем подстановки типа (5), но с дополнительным общим множителем  $e^{im\varphi}$ , при целочисленных  $m$ . Например, известные решения с азимутальной поляризацией [31, 32] должны возникать при  $m = -1$ .

Представляется также важной задачей провести исследования устойчивости решений с учетом вариационного принципа для поля  $\hat{\mathbf{E}}(x, y)$ , которое, как легко видеть, минимизирует интеграл

$$\int [|\partial_x \hat{E}_y - \partial_y \hat{E}_x|^2 + |\kappa \hat{\mathbf{E}} + i\nabla_\perp \hat{E}_z|^2 - \Pi(\hat{\mathbf{E}}, \hat{\mathbf{E}}^*)] dx dy. \quad (14)$$

Возможно, на этом пути удастся добиться более высокого уровня в качественном понимании свойств мелкомасштабных световых структур.

- 
- [1] Л. Д. Ландау и Е. М. Лифшиц, *Электродинамика сплошных сред*, Наука, Москва (1982).
- [2] В. Е. Семенов, Н. Н. Розанов, Н. В. Высотина, *ЖЭТФ* **116**, 458 (1999).
- [3] N. N. Rosanov, V. E. Semenov and N. V. Vyssotina, *J. Opt. B: Quant. Semiclass. Opt.* **3**, 96 (2001).
- [4] N. N. Rosanov, V. B. Semenov, N. A. Solov'eva, N. V. Vyssotina, *Proc. SPIE* **4751**, 1 (2002).
- [5] В. П. Рубан, *Письма в ЖЭТФ* **120**, 745 (2024).
- [6] G. A. Swartzlander, Jr. and C. T. Law, *Phys. Rev. Lett.* **69**, 2503 (1992).
- [7] C. T. Law and G. A. Swartzlander Jr., *Chaos Solit. Fract.* **4**, 1759 (1994).
- [8] *Optical Vortices*, ed. by M. Vasnetsov and K. Staliunas, Nova Science, N. Y. (1999).
- [9] L. Pismen, *Vortices in Nonlinear Fields*, Oxford University, London (1999).
- [10] M. J. Paz-Alonso and H. Michinel, *Phys. Rev. Lett.* **94**, 093901 (2005).
- [11] M. Haelterman and A. P. Sheppard, *Phys. Rev. E* **49**, 3389 (1994).
- [12] M. Haelterman and A. P. Sheppard, *Phys. Rev. E* **49**, 4512 (1994).
- [13] A. P. Sheppard and M. Haelterman, *Opt. Lett.* **19**, 859 (1994).
- [14] Yu. S. Kivhsar and B. Luther-Davies, *Phys. Rep.* **298**, 81 (1998).
- [15] N. Dror, B. A. Malomed, and J. Zeng, *Phys. Rev. E* **84**, 046602 (2011).
- [16] В. П. Рубан, *Письма в ЖЭТФ* **117**, 292 (2023).
- [17] В. П. Рубан, *Письма в ЖЭТФ* **120**, 104 (2024).
- [18] А. Л. Берхоер, В. Е. Захаров, *ЖЭТФ* **58**, 903 (1970).
- [19] S. Chi and Q. Guo, *Opt. Lett.* **20**, 1598 (1995).
- [20] B. A. Malomed, K. Marinov, D. I. Pushkarov, and A. Shivarova, *Phys. Rev. A* **64**, 023814 (2001).
- [21] G. Fibich and B. Ilan, *Phys. Rev. E* **67** 036622 (2003).
- [22] Н. Н. Розанов, Н. В. Высотина, А. Г. Владимиров, *ЖЭТФ* **118**, 1307 (2000).
- [23] N. N. Rosanov, *Proc. SPIE* **4403**, 200 (2001).
- [24] Н. Н. Розанов, *Оптр. Спектроск.* **94**, 1013 (2003).
- [25] N. V. Vyssotina, N. N. Rozanov, V. E. Semenov, V. A. Smirnov, S. V. Fedorov, and D. N. Christodoulides, *Optics and Spectroscopy* **98**, 895 (2005).
- [26] H. Wang and W. She, *Opt. Expr.* **13**, 6931 (2005).
- [27] A. Couairon, A. Mysyrowicz, *Phys. Rep.* **441**, 47 (2007).
- [28] J. E. Sipe and R. W. Boyd, *Phys. Rev. A* **46**, 1614 (1992).
- [29] A. Ciattoni, C. Rizza, and E. Palange, *Phys. Rev. A* **81**, 043839 (2010).
- [30] C. Rizza, A. Ciattoni, and E. Palange, *Phys. Rev. A* **83**, 053805 (2011).
- [31] A. Ciattoni, B. Crosignani, P. Di Porto, and A. Yariv, *Phys. Rev. Lett.* **94**, 073902 (2005).
- [32] A. Ciattoni, B. Crosignani, P. Di Porto, and A. Yariv, *J. Opt. Soc. Am. B* **22**, 1384 (2005).
- [33] L. Berge, *Phys. Rep.* **303**, 259 (1998).
- [34] В. Е. Захаров, Е. А. Кузнецов, *Усп. Физ. Наук* **182**, 569 (2012).
- [35] N. V. Vyssotina, N. N. Rozanov, V. E. Semenov, V. A. Smirnov, and S. V. Fedorov, *Optics and Spectroscopy* **98**, 447 (2005).
- [36] F. Bouchard, H. Larocque, A. M. Yao, C. Travis, I. De Leon, A. Rubano, E. Karimi, G.-L. Oppo, and R. W. Boyd, *Phys. Rev. Lett.* **117**, 233903 (2016).
- [37] C. J. Gibson, P. Bevington, G.-L. Oppo, and A. M. Yao, *Phys. Rev. A* **97**, 033832 (2018).